

تحليل كينماتيكي لقفزة الدورة ونصف دورة الهوائية الأمامية

المكورة على حصان القفز الأولمبي للرجال

د. علاء الدين حامد مصطفى*

المقدمة ومشكلة البحث :

تعتبر دراسة الأداء الحركي للإنسان في الأنشطة الرياضية المتعددة من المجالات الهامة التي تستثير العاملين في مجال التدريب والتدريس لدراسة العوامل المؤثرة فيه، سواء كانت عوامل نفسية أو بدنية أو ميكانيكية لمحاولة الوصول بعملية التعليم والتدريب إلى أفضل مستوى لها. (٥ : ٢)

وتعد معرفة المهتمين بالجمباز للمسار الحركي المناسب للمهارات الحركية المتعددة من أهم متطلبات التعليم والتدريب المثمر، ويتأتى ذلك عن طريق دراسة التركيب الفني لتلك المهارات وفهم المنحنى الخصائصي لها بأسلوب علمي من خلال الدراسة التحليلية. (٤ : ٦)

ويحتل جهاز حصان القفز مكانة هامة بين أجهزة الجمباز المتعددة حيث يتم تقييم درجة الأداء فيه بعشر درجات كبقية الأجهزة الأخرى بالرغم من أداء حركة واحدة عليه تستغرق بالكامل حوالي اثنتين طبقاً لما ذكر في إرشادات القانون الدولي للجمباز (٧ : ٩)، إلا أنه يقابل ذلك ما يقرب من إحدى عشرة حركة على كل جهاز من الأجهزة الأخرى تستغرق أضعاف هذا الزمن.

ويذكر أكران Ukran (١٩٦٧م) أن حركات القفز على الحصان تكمل التمرينات التي تؤدي على بقية الأجهزة لتحقيق نمو بدني أكثر شمولاً للاعبين، ففي حين يغلب على الأجهزة الأخرى التحميل أكثر على الذراعين وحزام الكتفين نتيجة للتعلق والارتكاز، فإن القفز على الحصان يتطلب التحميل بصفة أساسية على الرجلين. (١١ : ٣٥٨)

* د. علاء الدين حامد مصطفى، مدرس بقسم التدريب الرياضي بكلية التربية الرياضية ببورسعيد، جامعة قناة السويس.

وتشير نتائج الدورات الأولمبية وبطولات العالم والبطولات بين القارات إلى ظهور ابتكارات جديدة فى فنون الأداء على أجهزة الجمباز الأولمبى، وبخاصة جهاز حسان القفز، مما أدى إلى ظهور عدد كبير من القفزات الحديثة المبتكرة ذات الصعوبة العالية والخطرة على جهاز حسان القفز الأولمبى.

وبالرغم من أهمية هذه القفزات فى حصول اللاعبين على درجات مرتفعة عند أدائها فى المسابقات، إلا أن الكثير منها لم يحظى بالدراسة فى جمهورية مصر العربية، مما أدى إلى عدم انتشارها بين اللاعبين المصريين الأمر الذى دفع الباحث نحو دراسة الخصائص الكينماتيكية لقفزة الدورة والنصف دورة الهوائية الأمامية المكورة على حسان القفز الأولمبى للرجال كمحاولة لزيادة معلوماتنا عن تركيبها البنائى باعتبارها إحدى القفزات الحديثة ذات الصعوبة العالية.

أهمية البحث :

يرى الباحث أن دراسة الخصائص الكينماتيكية لقفزة الدورة والنصف دورة الهوائية الأمامية المكورة على حسان القفز الأولمبى قد يتيح الفرصة لكل من المدرب والمدرس واللاعب المتخصصين فى الجمباز التعرف على المتغيرات الكينماتيكية المميزة لأدائها، وتفسير علاقاتها المتداخلة والمؤثرة فى تركيبها الحركى، مما يساعد فى السيطرة على عملية تعليمها، وبالتالي يؤدي إلى انتشارها بين اللاعبين المصريين.

أهداف البحث :

تهدف هذه الدراسة إلى ما يلى :

- 1- دراسة الخصائص الكينماتيكية للمسار الحركة للقفزة قيد البحث.
- 2- ايجاد أنسب المتغيرات لتكنيك القفزة قيد البحث.

الدراسات المرتبطة :

يذكر تاكى .Y. Taki (١٩٩٠م) فى دراسته للتكنيكات المستخدمة فى أداء قفزة الدورة والنصف دورة الهوائية الأمامية المكورة على حصان القفز فى أولمبياد (١٩٨٨م) أن كبر السرعة الأفقية عند أخذ الارتقاء من الأرض وسلم القفز يرجع إلى سرعة الاقتراب، والتغيير الكبير فى قيمة السرعة الرأسية خلال الاتصال بالحصان، يرجع إلى الدفع بالذراعين والكتفين، كبر قيمة السرعة الرأسية والأفقية عند الاتصال وترك الحصان، أدى إلى كبر المسافة الأفقية والارتفاع وإطالة زمن الطيران الثانى والتى تؤثر على الحكام. (٩ : ١١١-١٣٨)

كما يضيف تاكى .Y. (١٩٩١م) فى دراسته مقارنة التكنيكات المستخدمة فى أداء القفزة الاجبارية للرجال فى أولمبياد (١٩٨٨م)، أن السرعة الأفقية الأخيرة من الاقتراب والطيران الأول بالنسبة للمجموعة الأولى الحاصلة على أكبر الدرجات أكبر من المجموعة الثانية الحاصلة على أقل الدرجات، وقوة رد الفعل الرأسية من الحصان أكبر بالنسبة لمجموعة الأولى وهى تؤدي إلى تغيير فى السرعة الرأسية خلال الاتصال بالحصان وبالتبعية أفضل اللاعبين يتركون الحصان بسرعة رأسية أكبر، والتى تؤدي إلى ارتفاع أكبر ومسافة أكبر، وزمن أطول خلال الطيران الثانى من مثيلتها الثانية، أفضل لاعبي الجمباز يتميزون بتكور الجسم الكامل لحظة الوصول لقمة منحنى الطيران الثانى عن أقرانهم فى المجموعة الثانية الأقل درجات، ويؤدي ذلك إلى ارتفاع أكبر لمركز ثقل جسم اللاعبين المتميزين (المجموعة الأولى) خلال وضع التكور. خلال تتابع مراحل القفز، أفضل لاعبي الجمباز يتحركون من أعلى وضع التكور فى منتصف الطيران ويمدون الجسم كاملاً ويحتفظون بهذا المد للجسم لأطول فترة للسيطرة على الهبوط على المرتبة التى تعطى التأثير النهائى على الحكام. (١٠ : ٥٤-٥٧)

اجراءات البحث :

عينة البحث

الثمانية لاعبين الحاصلين على المراكز الأولى الثمانية فى المسابقة الثالثة النهائية على حسان القفز الفردية للرجال المقامة فى بولى بافيليون Pouly Pavillon فى أغسطس سنة (١٩٨٤م). وتم تصويرهم بكاميرا سينمائية سرعتها ١٠٠ كادر فى الثانية، وتم اعادة طباعة الفيلم على شريط فيديو VHS. وجدونت النتائج فى الجدول (١).

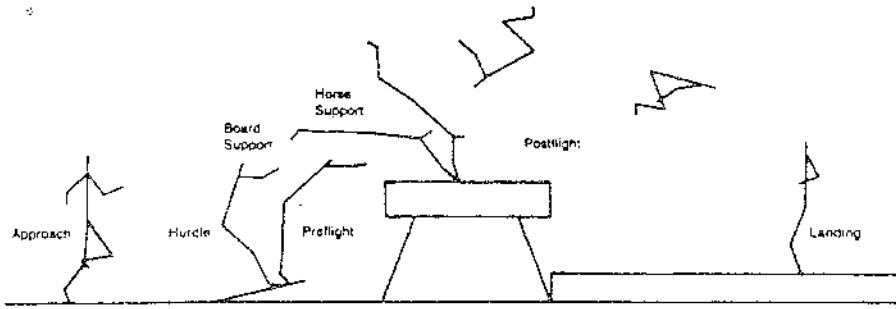
جدول (١)

المسابقة النهائية الثالثة للرجال فى حسان القفز

الترتيب	رقم اللاعب	اسم اللاعب	الدولة	القفزة الاجبارية	القفزة الاختيارية	الدرجة السابقة	الدرجة النهائية	المجموع
١	١٤	لوى يون Lou Yun	الصين	١٠,٠٠٠	١٠,٠٠٠	١٠,٠٠٠	٩,٩٥٠	١٩,٩٥٠
٢	١١	لى ننج Li Ning	الصين	١٠,٠٠٠	٩,٧٥٠	٩,٨٧٥	٩,٩٥٠	١٩,٨٢٥
٣	٤٧	جوشيكين، كوجى Gushiken K.	اليابان	٩,٨٥٠	٩,٩٠٠	٩,٨٧٥	٩,٩٥٠	١٩,٨٢٥
٤	٧٧	جايلورد، ميشل Gaylard, M.	أمريكا	٩,٩٥٠	٩,٩٥٠	٩,٩٢٥	٩,٩٠٠	١٩,٨٢٥
٥	٥٠	مارتسو، شنجى Martsue, Sh.	اليابان	٩,٩٥٠	٩,٧٥٠	٩,٨٥٠	٩,٩٧٥	١٩,٨٧٥
٦	٧٨	هارتونج، جيمس Hartung, James	أمريكا	٩,٩٠٠	٩,٩٠٠	٩,٩٠٠	٩,٩٠٠	١٩,٧٠٠
٧	٧	لونج، وارون Long, Waren	كندا	٩,٨٥٠	٩,٨٥٠	٩,٨٥٠	٩,٨٥٠	١٩,٧٠٠
٨	٧٢	فونديلين، دانييل Wundelin, D.	السويد	٩,٩٠٠	٩,٨٥٠	٩,٨٥٠	٩,٧٧٥	١٩,٦٢٥

بعد نقل الفيلم السينمائى على شريط الفيديو VHS، واعادة رؤية الثمانية ادعاءات النهائية والتأكد من صلاحيتها للتحليل باستخدام نظام التحليل ويندو Winanalysis system بمعمل الميكانيكا الحيوية بكلية التربية الرياضية ببورفواد -

بورسعيد - جامعة قناة السويس. قُسمت المراحل المختلفة النموذجية لأداء القفز كما في شكل (١).



شكل (١)

مراحل القفز النموذجية في مجموعة الدورة الهوائية ونصف
دورة المكورة على الحصان للرجال

تحليل شريط الفيديو :

تم تحليل كل من الأدعاءات الثمانية النهائية عن طريق محلل ويندو وهو برنامج للتحليل الحركي الآلي Winanalyze automatic motion analysis version 1.4 ويشتمل على CPU (80486DX) (بسرعة 66MHz)، مبرمج صوري (كارت شاشة) مع على الأقل ٢٥٦ لون ودقة ٦٠٠×٨٠٠ نقطة.

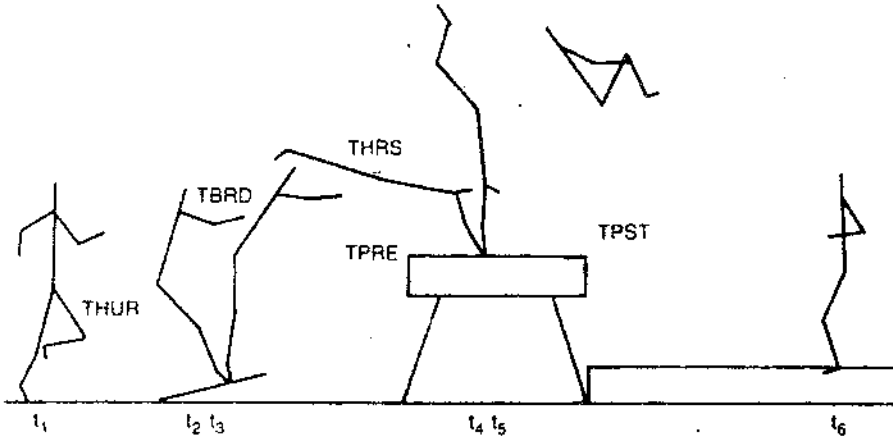
RESULTS

حصل كل كادر من لحظة الدخول على القفز حتى نهاية الهبوط والكاميرا الأولى جهزت البيانات من الاقتراب حتى ترك الجسم الحصان، واستخدمت الكاميرا الثانية لتحليل الأداء من ما بعد ترك الحصان حتى الهبوط. ومن أجل تحليل كل كادر، حلت نقاط الجسم الثانية وعددها خمسة عشر نقطة وفق نموذج هانافان Hanavan لتحديد مراكز ثقل كتلة الجسم وكان عدد الكادرات التي تم تحليلها في كل قفزة حوالي ٢٠٠ كادر، كما حسب مركز ثقل كتلة الجسم لكل كادر، وحسبت المتغيرات الكينماتيكية للمتغيرات التي استخدمت لوصف أدعاءات لاعبي الجمباز الموهوبين. (٦ : ٦٤-١٠٢)

متغيرات الأداء :

لدراسة المراحل السبع السابق تحديدها تم تحديد المتغيرات الموضحة في الأشكال

(٢)، (٣)، (٤)، (٥)، (٦).



شكل (٢)

المتغيرات الزمنية (بالثانية)

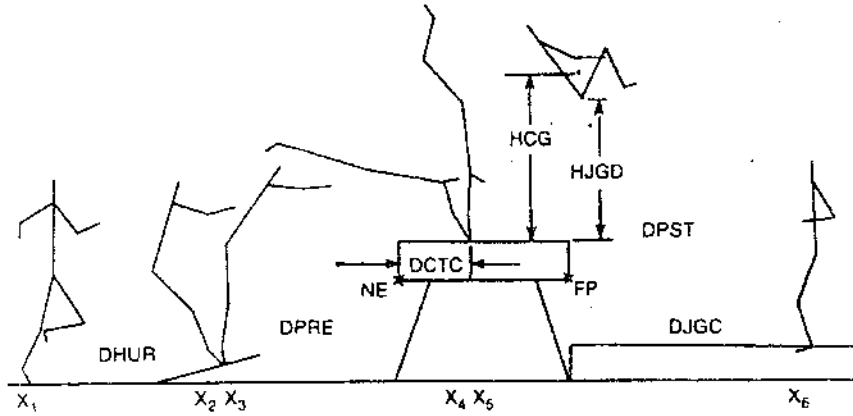
THUR = زمن الدخول على السلم $(t_2 - t_1)$

TBRD = زمن الارتكاز على السلم $(t_3 - t_2)$

TPRE = زمن الطيران الأول $(t_4 - t_3)$

THRS = زمن الارتكاز على الحصان $(t_5 - t_4)$

TPST = زمن الطيران الثاني $(t_6 - t_5)$



شكل (٣)

متغيرات الراحة (الارتفاعات والمسافة بالمتر)

HCG = أقصى ارتفاع لمركز ثقل كتلة الجسم في الطيران الثاني،

HJGD = أقصى ارتفاع للمقعدة خلال الطيران الثاني،

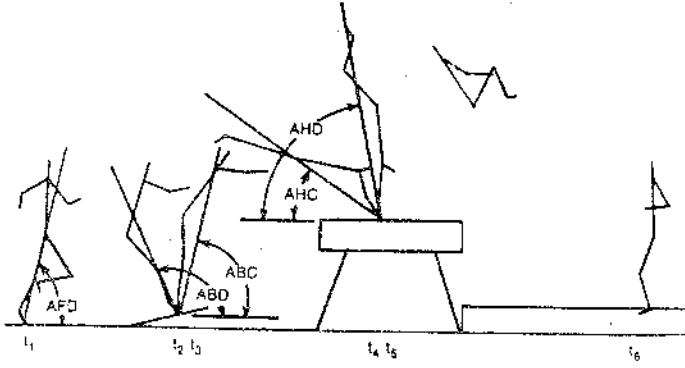
DHUR = المسافة من الأصبع الأكبر عند لمس الأرض والأصبع الأكبر عند ترك السلم
($X_3 - X_1$)

DPRE = المسافة من ترك الأصبع أكبر للسلم حتى وضع اليد على الحصان ($X_5 - X_3$)،

DCTC = المسافة من وضع اليدين على الحصان السابق حتى بداية الحصان ($X_5 - NE$)،

DPST = المسافة من الأصبع الأكبر عند الهبوط إلى اليدين على الحصان السابقة
($X_6 - X_5$)

DJGC = المسافة من الأصبع الكبير عند الهبوط إلى نهاية الحصان ($X_6 - FP$) .



شكل (٤)

متغيرات الازاحة الزاوية (الزاوية بالدرجة الستينية)

$=AFb$ = الزاوية بين الخط الأفقى الأيمن والخط المرسوم خلال COG والأصبع الكبير

لمشط القدم على الأرض لحظة الانتقال عند (t_1) ،

$=ABD$ = الزاوية بين الخط الأفقى الأيمن والخط المرسوم خلال COG والأصبع الأكبر عند

سلم القفز لحظة الاتصال عند (t_2) ،

$=ABC$ = الزاوية المحصورة بين الخط الأفقى الأيمن والخط المرسوم خلال COG والمشط

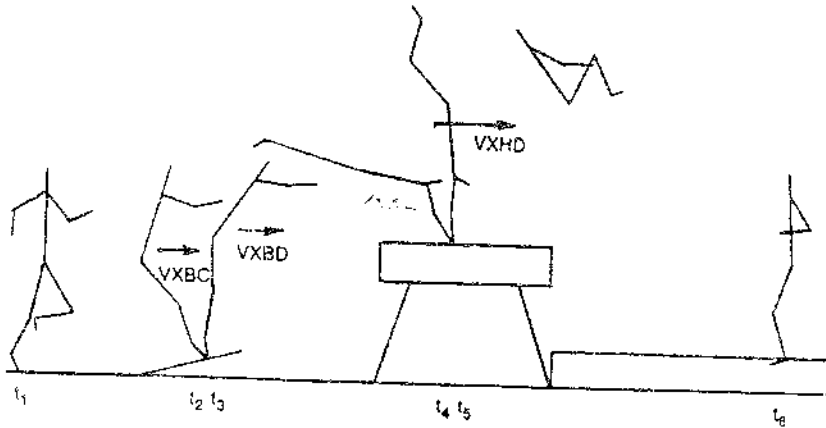
عند سلم القفز لحظة كسر الاتصال عند (t_3) ،

$=AHC$ = الزاوية بين الخط الأفقى الأيسر والخط المرسوم خلال COG واتصال اليدين

بالحصان عند (t_4) ،

$=AHD$ = الزاوية المحصورة بين الخط الأفقى الأيسر والخط المرسوم خلال COG واليد

عند لحظة كسر الاتصال عند (t_5)



شكل (٥)

متغيرات السرعة الأفقية (لمركز ثقل الجسم م/ث)

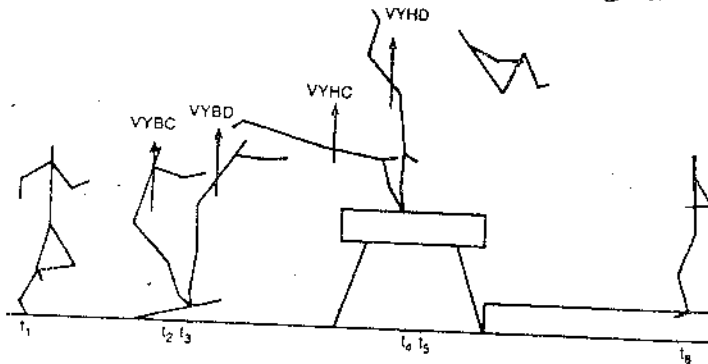
$$= V_{xBC} = \text{السرعة الأفقية عند الاتصال بسلم القفز عند } (t_2)$$

$$= V_{xBD} = \text{السرعة الأفقية عند كسر الاتصال بسلم القفز عند } (t_3)$$

$$= V_{xBDL} = \text{التغير في السرعة الأفقية خلال الاتصال بسلم القفز } (V_{xBD} - V_{xBC})$$

$$= V_{xHD} = \text{السرعة الأفقية عند ترك الحصان عند الزمن } (t_5)$$

$$= V_{xHDL} = \text{التغير في السرعة الأفقية خلال الاتصال بالحصان } (V_{xHD} - V_{xBC})$$



شكل (٦)

متغيرات السرعة الرأسية (مركز ثقل الجسم COG متر/ثانية)

$$= V_{yBC} = \text{السرعة الرأسية عند الاتصال بسلم القفز عند } t_2$$

$$= V_{yBD} = \text{السرعة الرأسية لحظة كسر الاتصال بسلم القفز عند } (t_3)$$

$$= V_{yBDL} = \text{التغير في السرعة الرأسية خلال الاتصال بالسلم } (V_{yBD} - V_{yBC})$$

$$= V_{yHDL} = \text{التغير في السرعة الرأسية خلال الاتصال بالحصان } (V_{yHD} - V_{yHC})$$

عرض النتائج ومناقشتها :

عرض النتائج :

بيانات الزمن : Temporal data

يعرض الجدول (٢) المتوسط الحسابي والانحراف المعياري والمدى خلال المراحل المختلفة للقفز لأداء الدورة الهوائية الأمامية والنصف دورة المتكورة على الحصان.

جدول (٢)

المتوسط الحسابي والانحراف المعياري والمدى للتقسيم الزمني للمراحل
الفنية لأداء القفزة قيد الدراسة لأفراد عينة البحث

ن = ٨					المتغيرات
زمن الطيران الثاني (بالثوان)	زمن الاتصال بالحصان بالثوان)	زمن الطيران الأول (بالثوان)	زمن الاتصال بالسلم (بالثوان)	زمن الدخول على السلم (بالثوان)	
٠,٩٢	٠,١٨	٠,١٧	٠,١١	٠,٢٣	المتوسط الحسابي
٠,٠٣	٠,٠١	٠,٠٢	٠,٠١	٠,٠٢	الانحراف المعياري
٠,٨٧-٠,٩١	٠,١٤-٠,١٩	٠,١٣-٠,١٩	٠,١٠-٠,١٢	٠,٢١-٠,٢٦	المدى

يوضح الجدول (٢) أن متوسط زمن الدخول على سلم القفز كان (٠,٢٣ ث) وبانحراف معياري (٠,٠٢ ث) ومدى انحصار ما بين (٠,٢١ ث)، (٠,٢٦ ث)، ومتوسط زمن الاتصال بسلم القفز كان (٠,١١ ث)، بانحراف معياري (٠,٠١ ث)، ومدى انحصار ما بين (٠,١٠ ث)، (٠,١٢ ث)، وكان زمن الطيران الأول (٠,١٧ ث)، بانحراف معياري (٠,٠٢ ث)، ومدى انحصار ما بين (٠,١٣ ث)، (٠,١٩ ث)، ومتوسط زمن اتصال بالحصان كان (٠,١٨ ث)، وبانحراف معياري (٠,٠١ ث)، ومدى انحصار ما بين (٠,١٥ ث)، (٠,١٩ ث)، ومتوسط زمن الطيران الثاني كان (٠,٩٢ ث)، بانحراف معياري (٠,٠٣ ث)، ومدى انحصار ما بين (٠,٨٧ ث)، (٠,٩١ ث).

بيانات الازاحة : Displacement data

يعرض الجدول (٣) المتوسط الحسابي، الانحراف المعياري، والمدى خلال المراحل

المختلفة لأداء المهارة قيد البحث

جدول (٣)

المتوسط الحسابي والانحراف المعياري والمدى لمتغيرات الازاحة خلال المراحل
الفنية لأداء القفزة قيد الدراسة لأفراد عينة البحث

ن = ٨					المتغيرات
أقصى ارتفاع لمركز ثقل كتلة الجسم في الطيران الثاني (بالمتر)	طول الطيران الثاني عند نهاية الحصان (بالمتر)	طول الطيران الثاني عن نقطة الاتصال (بالمتر)	طول الطيران الأول عن نقطة الاتصال (بالمتر)	طول الدخول على السلم (بالمتر)	
١,٥١	٣,١٤	٤,٠٧	١,٧٨	٢,٢٤٥	المتوسط الحسابي
٠,٠٨	٠,٣٦	٠,٢٦	٠,١١	٠,١٩	الانحراف المعياري
١,٦٦-١,٣٩	٣,٦١-٢,٥٤	٤,٤٤-٣,٧١	١,٩٣-١,٥٧	٢,٧١-٢,٠٦	المدى

يسبين الجدول (٣) أن متوسط طول الدخول على سلم القفز كان (٢,٢٤٥ متر) بانحراف معياري (٠,١٩ متر)، ومدى انحصار ما بين (٢,٠٦ متر)، (٢,٧١ متر)، متوسط طول الطيران الأول عن نقطة الاتصال على سلم القفز كان (١,٧٨ متر)، بانحراف معياري (٠,١١ متر)، ومدى انحصار ما بين (١,٥٧ متر)، (١,٩٣ متر)، متوسط طول الطيران الثاني عن نقطة الاتصال بالحصان كان (٤,٠٧ متر) بانحراف معياري (٠,٢٦ متر)، ومدى انحصار ما بين (٣,٧١ متر)، (٤,٤٤ متر)، متوسط طول الطيران الثاني عن نهاية الحصان (٣,١٤ متر)، بانحراف معياري (٠,٣٦ متر)، ومدى انحصار ما بين (٢,٥٤ متر)، (٣,٦١ متر)، متوسط أقصى ارتفاع لمركز ثقل كتلة الجسم في الطيران الثاني عن ظهر الحصان كان (١,٥١ متر)، بانحراف معياري (٠,٠٨ متر)، ومدى انحصار ما بين (١,٣٩ متر)، (١,٦٦ متر).

بيانات وضع الجسم : Body position data

يعرض الجدول (٤) ملخص لمتوسطات زوايا أوضاع جسم لاعب الجمباز خلال المراحل الفنية المختلفة لأداء القفزة قيد البحث.

جدول (٤)

المتوسط الحسابي والانحراف المعياري والمدى لزوايا أوضاع جسم لاعب الجمباز خلال المراحل الفنية لأداء الفقرة قيد الدراسة لأفراد عينة البحث

ن = ٨					المتغيرات
زاوية كسر الاتصال بالحصان (١)	زاوية الاتصال بالحصان (٢)	زاوية كسر الاتصال بسلم القفز (٣)	زاوية الاتصال بسلم القفز (٤)	زاوية كسر الاتصال الخطوة الأخيرة (٥)	
٩٤,٢٥	٣٣,٣٨	٧٤,٨٨	١١٧,٥٠	٨٣,٢٥	المتوسط الحسابي
٤,٩٩	٦,٢	٤,٩٦	٣,٢٤	١٦,٦٦	الانحراف المعياري
١٠١-٨٧	٤١-٢٦	٨٢-٦٩	١٢٢-١١٢	١١١,٠٠-٦٥,٠٠	المدى

يلاحظ من جدول (٤) أن متوسط زاوية كسر اتصال الخطوة الأخيرة كان (٨٣,٢٥)، وانحراف معياري (١٦,٦٦)، ومدى انحصار ما بين (٦٥)، (١١١). متوسط زوايا الاتصال بسلم القفز كان (١١٧,٥) وانحراف معياري (٣,٢٤)، مدى انحصار ما بين (١١٢)، (١٢٢)، متوسط زوايا كسر الاتصال بسلم القفز كان (٧٤,٨٨)، وانحراف معياري (٤,٩٦)، ومدى انحصار ما بين (٦٩)، (٨٢)، متوسط زوايا الاتصال بالحصان كان (٣٣,٣٨)، وانحراف معياري (٦,٢)، ومدى انحصار ما بين (٢٦)، (٤٦)، ومتوسط زوايا كسر الاتصال بالحصان كان (٩٤,٢٥) وانحراف معياري (٤,٩٩)، ومدى انحصار ما بين (٨٧)، (١٠١).

بيانات السرعة الأفقية : Horizontal velocity data

يعرض الجدول (٥) قيم المتوسط الحسابي للسرعة الأفقية لمركز ثقل كتلة الجسم خلال المراحل الفنية المختلفة لأداء الفقرة قيد البحث.

جدول (٥)

المتوسط الحسابي والانحراف المعياري والمدى للسرعة الأفقية لمركز ثقل كتلة الجسم خلال المراحل الفنية المختلفة لأداء الفقرة قيد البحث

ن = ٨					المتغيرات
التغير في السرعة الأفقية خلال الاتصال بالحصان (م/ث)	السرعة الأفقية لكسر الاتصال بالحصان (م/ث)	التغير في السرعة الأفقية على سلم القفز (م/ث)	السرعة الأفقية لكسر الاتصال بالسلم (م/ث)	السرعة الأفقية للاتصال بالسلم (م/ث)	
١,٥٤-٢,٣٨	٣,٥٧	٢,٦٣-	٥,١١	٧,٧٩	المتوسط الحسابي
٠,٢٦	٠,٢٩	٠,٢٢	٠,٢٦	٠,١٣	الانحراف المعياري
(٠,٥٦-)-٢,٢٧-	٣,٩٧-٣,٠١	(٢,٣٤-)-٣,٣٤-	٥,٣٨-٤,٥	٧,٩٤-٧,٦	المدى

يبين الجدول (٥) أن متوسط السرعة الأفقية لمركز ثقل كتلة جسم اللاعب خلال الاتصال بالسلم كان (٧,٧٩ م/ث) بانحراف معياري (٠,١٣ م/ث) ومدى انحصار مابين (٧,٦- م/ث)، ومتوسط السرعة الأفقية لمركز ثقل كتلة جسم اللاعب خلال كسر الاتصال بالسلم كان (٥,١١ م/ث) بانحراف معياري (٠,٢٦ م/ث) وبمدى انحصار مابين (٤,٥ م/ث)، (٥,٣٨ م/ث)، ومتوسط التغير في السرعة الأفقية على سلم القفز كان (٢,٦٣ م/ث)، وبانحراف معياري (٠,٢٢ م/ث) وبمدى انحصار مابين (٢,٣٤ م/ث)، (٣,٣٤ م/ث)، ومتوسط السرعة الأفقية خلال كسر الاتصال بالحصان كان (٣,٥٧ م/ث)، بانحراف معياري (٠,٢٩ م/ث)، وبمدى انحصار مابين (٣,٠١ م/ث)، (٣,٩٧ م/ث)، ومتوسط التغير في السرعة الأفقية خلال الاتصال بالحصان كان (١,٥٤ م/ث)، بانحراف معياري (٠,٢٦ م/ث)، وبمدى انحصار مابين (٠,٢٦ م/ث)، (٢,٣٨ م/ث)، وبمدى انحصار مابين (٠,٥٦ م/ث)، (٢,٢٧ م/ث).

البيانات:

المتوسط الحسابي = $\frac{1}{n} \sum_{i=1}^n x_i$

الانحراف المعياري = $\sqrt{\frac{1}{n} \sum_{i=1}^n (x_i - \bar{x})^2}$

المدى = الحد الأقصى - الحد الأدنى

البيانات: ١,٥٤، ٢,٣٨، ٣,٥٧، ٢,٦٣، ٥,١١، ٧,٧٩، ٠,٢٦، ٠,٢٩، ٠,٢٢، ٠,٢٦، ٠,١٣، ٠,٥٦، ٢,٢٧، ٣,٩٧، ٣,٠١، ٢,٣٤، ٣,٣٤، ٥,٣٨، ٤,٥، ٧,٩٤، ٧,٦

جدول (٦)

المتوسط الحسابي والانحراف المعياري والمدى للسرعة الرأسية لمركز ثقل كتلة الجسم خلال المراحل الفنية المختلفة لأداء القفزة قيد البحث

n = 8						المتغيرات
السرعة الرأسية للاتصال بكسر الاحتمال بالحصان (م/ث)	السرعة الرأسية للاتصال بالحصان (م/ث)	السرعة الرأسية لكسر الاحتمال بالحصان (م/ث)	السرعة الرأسية على سلم القفز (م/ث)	السرعة الرأسية لكسر الاحتمال بسلم القفز (م/ث)	السرعة الرأسية للاتصال بسلم القفز (م/ث)	
٠.٢٢	٢.٩٧	٢.٧٥	٤.٧٦	٤.٤٩	٠.٢٧-	المتوسط الحسابي
٠.٢٩	٠.٣٣	٠.٢٤	٠.٣٠	٠.١٦	٠.٢٠	الانحراف المعياري
٠.١٦-٠.٢٣-	٣.٣٨-٢.٢٤	٣.٢٧-٢.٤٦	٥.٤٢-٤.٥٢	٤.٧٠-٤.٢٢	(٠.٠٨-)-٠.٢٧-	المدى

يوضح الجدول (٦) أن متوسط السرعة الرأسية للاتصال بسلم القفز كانت (٠.٢٧، م/ث) بانحراف معياري (٠.٢٠، م/ث) ومدى اتحصر ما بين (٠.٢٧، م/ث)، (٠.٠٨، م/ث)، متوسط السرعة الرأسية لكسر الاتصال بسلم القفز كانت (٤.٤٩، م/ث) وبانحراف معياري (٠.١٦، م/ث)، وبمدى اتحصر ما بين (٤.٢٢، م/ث)، (٤.٧، م/ث)، ومتوسط التغير في السرعة الرأسية على سلم القفز كان (٤.٧٦، م/ث)، بانحراف معياري (٠.٣٠، م/ث) وبمدى اتحصر ما بين (٤.٥٢، م/ث)، (٥.٤٢، م/ث)، متوسط السرعة الرأسية للاتصال بالحصان كانت (٢.٧٥، م/ث)، وبانحراف معياري (٠.٢٤، م/ث)، ومدى اتحصر ما بين (٢.٤٦، م/ث)، (٣.٢٧، م/ث)، متوسط السرعة الرأسية لكسر الاتصال بالحصان كانت (٢.٩٧، م/ث)، بانحراف معياري (٠.٣٣، م/ث)، وبمدى اتحصر ما بين (٢.٢٤، م/ث)، (٣.٣٨، م/ث)، متوسط التغير في السرعة الرأسية خلال الاتصال بالحصان كان (٠.٢٢، م/ث) بانحراف معياري (٠.٢٩، م/ث) وبمدى اتحصر ما بين (٠.٢٣، م/ث)، (٠.١٦، م/ث).

مناقشة النتائج :

بدراسة الجداول من (٢) إلى (٦) يتضح ما يلي :
أن التوقيت العام لأداء الدورة الهوائية والنصف دورة الأمامية المكورة على حصان القفز قسم إلى ٠.٢٣ ثانية لمرحلة الدخول على سلم القفز Hurdle phase، ٠.١١ ثانية للاتصال بالسلم Take-off، ٠.١٧ ثانية للطيران الأول Pre-flight.

١٨٠، ثانية للاتصال بالحصان Contact on Horse، ٩٢، ثانية للطيران الثانى Post-flight، ويلاحظ الطيران الثانى سجل أطول زمن ويتفق ذلك مع طبيعة أداء هذه القفزة حيث يحتاج اللاعب زمن طويل نسبياً خلال الطيران الثانى حتى يمكنه اتمام الدورة الهوائية والنصف دورة قبل الهبوط على الأرض، كما لوحظ أن زمن الاتصال بالسلم كان أقل من زمن الاتصال بالحصان ويرجع ذلك إلى سرعة اندفاع اللاعب خلال مرحلة الدخول على سلم القفز فى نهاية مرحلة الاقتراب الأمر الذى يتطلب قصر زمن اتصال القدمين بالسلم حتى يمكن اتجاه عملية دفع سلم القفز عن طريق اخراج أقصى قوة للرجلين فى أقل زمن إلى جانب أن قصر زمن اتصال القدمين بالسلم يعطى اللاعب فرصة للانطلاق بزواوية مناسبة لنجاح الطيران الأول. أما بالنسبة إلى أن زمن اتصال اليدين بالحصان أكبر نسبياً من زمن اتصال القدمين بسلم القفز فيرجع ذلك إلى أن اللاعب يحتاج إلى منحني طيران مرتفع نسبياً وكمية دفع دوران أكبر من كمية دفع الدوران فى حالة دفع سلم القفز وذلك حتى يتمكن من اتمام دوران الجسم دورة ونصف، ويتفق ذلك مع نتائج دراسة عادل عبد البصير، عدلى حسين بيومى، محمد رضا الوقاد (١٩٨٥م)، (١)، ونتائج دراسة تاكى (١٩٩٠م) (٩).

لوحظ أن أطول مسافة أفقية خلال المراحل الفنية لأداء القفزة قيد البحث كانت بينت نقطة الاتصال بالحصان والأصبع الكبير لمشط القدم عند لمس القدمين الأرض خلال الطيران الثانى حيث بلغ المتوسط (٤,٠٧ متر) ويليهِ طول مسافة الطيران الثانى عن نهاية الحصان حيث بلغ المتوسط (٣,١٤متر)، وكان أقصى ارتفاع وصل إليه م/ث/ج خلال الطيران الثانى (١,٥١متر) ويتفق ذلك مع متطلبات أداء الدورة والنصف دورة الهوائية المكورة حيث أنه كلما كان منحني الطيران الثانى مرتفعاً ومتسعاً نسبياً كلما تمكن اللاعب من اتمام الدورة والنصف الهوائية الأمامية ويتفق ذلك مع قانون المقذوفات ونتائج دراسة عادل عبد البصير على وعدلى حسين بيومى ومحمد رضا الوقاد (١٩٨٥م) (١)، وتاكي (١٩٩٠م) (٩).

يظهر من بيانات زوايا وضع جسم اللاعب خلال المراحل الفنية المختلفة لأداء القفزة قيد البحث أن زاوية كسر الاتصال فى الخطوة الأخيرة للدخول على السلم كانت (٨٣,٢٥) وتتفق هذه النتيجة مع ما أشار إليه عادل عبد البصير على (١٩٩٧م) بأن زاوية

الهبوط على سلم لقفز للاعبى المستويات العالية تنحصر ما بين (١٠)، (٩٠)؛ وأن زاوية الاتصال بسلم القفز كانت (١١٧,٥٠)، زاوية كسر الاتصال (٧٤,٨٨)، وتتفق هذه النتيجة مع ما أشار إليه عادل عبد البصير على (١٩٩٧م)، بأن زاوية الانطلاق من سلم القفز عند أفضل لاعبى الجسماز تنحصر ما بين (٧٥)، (٨٣). كما نلاحظ أن زاوية كسر الاتصال بالحصان كانت (٩٤,٢٥) وهى زاوية مناسبة للحصول على الدفع المناسب حيث أن الدفع باليدين يجب أن ينتهى فى اللحظة التى يصبح فيها الكتفين أو خطهما قاطعاً للمحور الرأسى ومساراً من خلال سطح الارتكاز، ويكون مستوى مركز ثقل كتلة الجسم فى هذه الحالة أعلى ما يمكن. (٢ : ٧٦ - ٩٠)

السرعة الأفقية :

كانت السرعة الأفقية للاقتراب حوالى (٧,٧٩م/ث)، السرعة الأفقية للطيران الأول تجاوزت (٥م/ث). كذلك كانت السرعة الأفقية المفقودة خلال الاتصال بسلم القفز كانت حوالى (٢,٥م/ث)، كما كانت السرعة الأفقية خلال الطيران الثانى (٣,٥٧م/ث)، والسرعة الأفقية خلال الاتصال بالحصان حوالى (٢,٠٣م/ث).

السرعة الرأسية :

لنلاحظ أن السرعة الرأسية للاتصال بسلم القفز كانت تقريباً (-٢٧م/ث) لأسفل. عند ترك السلم، زادت السرعة الرأسية إلى حوالى (٤,٥م/ث)، لذا يلاحظ أن الزيادة الصافية فى السرعة الرأسية لحظة ترك سلم القفز كانت ٤,٦م/ث. السرعة الرأسية للاتصال بالحصان كانت (٢,٧٥م/ث)، وعند لحظة ترك الحصان زادت السرعة الرأسية فى معظمها ٣,٠م/ث. لذلك شوهد التغير الإيجابى فى السرعة الرأسية فى القفزة قيد البحث.

الاستنتاجات :

فى حدود عينة البحث ووسائل جمع البيانات والنتائج التى توصل لها الباحث أمكنه استنتاج ما يلى :

١- تنحصر الخصائص الكينماتيكية للمراحل الفنية لأداء قفزة الدورة الهوائية والنصف

دورة الأمامية المكورة على حصان القفز الأولمبي فيما يلي :

- بالنسبة للتقسيم الزمني :

- متوسط زمن الدخول على سلم القفز ٠,٢٣ ثانية.
- متوسط زمن الاتصال بسلم القفز ٠,١١ ثانية.
- متوسط زمن الطيران الأول ٠,١٧ ثانية.
- متوسط زمن الاتصال بالحصان ٠,١٨ ثانية.
- متوسط زمن الطيران الثاني ٠,٩٢ ثانية.

- بالنسبة لمتغيرات الازاحة وارتفاع مركز ثقل كتلة الجسم :

- متوسط طول مسافة الدخول على سلم القفز من الأصبع الأكبر عند لمس الأرض وحتى ترك سلم القفز (٢,٤٥٠ متر).
- متوسط طول مسافة الطيران الأول من ترك الأصبع الأكبر للقدم لسلم القفز حتى وضع اليدين على الحصان (١,٧٨ متر).
- متوسط طول مسافة الطيران الثاني من وضع اليدين على الحصان إلى الأصبع الأكبر للقدم عند الهبوط (٣,١٤ متر).
- متوسط أقصى ارتفاع وصل إليه مركز ثقل كتلة الجسم خلال الطيران الثاني (١,٥١ متر) عن مستوى ظهر الحصان.

- بالنسبة لزوايا أوضاع الجسم :

- متوسط زاوية كسر اتصال الخطوة الأخيرة (٨٣,٢٥).
- متوسط زاوية الاتصال بسلم القفز (١١٧,٥٠).
- زاوية كسر الاتصال بسلم القفز (زاوية الانطلاق) (٧٤,٨٨).
- زاوية الاتصال بالحصان (٣٣,٣٨).
- زاوية كسر الاتصال بالحصان (زاوية الانطلاق) (٩٤,٢٥).

- بالنسبة للسرعة فى اتجاه كلا المركبتين الرأسية والأفقية :

- تفوق متوسط السرعة فى اتجاه المركبة الأفقية لحظة الاتصال بسلم القفز عن متوسط السرعة فى اتجاه المركبة الرأسية حيث كان مقدار كل منهما على التوالى (٧٩,٧ م/ث)، (-٢٧,٢ م/ث).
- تفوق متوسط السرعة فى اتجاه المركبة الأفقية على متوسط السرعة فى اتجاه المركبة الرأسية لحظة كسر الاتصال بسلم القفز حيث بلغ مقدار كل منهما على التوالى (١١,٥ م/ث)، (٤٩,٤ م/ث).
- تفوق متوسط السرعة فى اتجاه المركبة الأفقية على متوسط السرعة فى اتجاه المركبة الرأسية خلال لحظة كسر الاتصال بالحصان حيث بلغ مقدار كل منهما على التوالى (٥٧,٣ م/ث)، (٩٧,٢ م/ث).

التوصيات :

يوصى الباحث بما يلى :

- ١- مراعاة الخصائص الكينماتيكية التى توصلت لها هذه الدراسة عند تعليم الدورة والنصف دورة الهوائية الأمامية المكورة على حصان القفز.
- ٢- دراسة الخصائص الديناميكية لكل من الدفع باليدين والرجلين خلال أداء الدورة والنصف دورة الهوائية الأمامية المكورة على حصان القفز.

المراجع

أولاً : المراجع العربية :

- ١- عادل عبد البصير على، عدلى حسين بيومى، محمد رضا الوفاة : الخصائص الكينماتيكية لبعض القفزات الحديثة على حصان القفز للرجال، المؤتمر الدولي للشباب والرياضة، المجلد الثالث، كلية التربية الرياضية للبنين بالقاهرة.
- ٢- عادل عبد البصير على : (١٩٩٧م)، الميكانيكا الحيوية فى تكتيك الحركات الرياضية، المؤلف، بورسعيد.
- ٣- عادل عبد البصير على : (١٩٩٨م)، الميكانيكا الحيوية والتكامل بين النظرية والتطبيق، الطبعة الثانية، مركز الكتاب للنشر، القاهرة.
- ٤- علاء الدين حامد مصطفى : (١٩٨٨م)، "القوة العضلية النسبية وديناميكية الدفع بالرجلين والذراعين وعلاقتها بمستوى أداء مهارة الشقلبة الأمامية باليدين على حصان القفز"، رسالة ماجستير، كلية التربية الرياضية، جامعة المنيا.
- ٥- علاء الدين حامد مصطفى : (١٩٩٣م)، "تأثير تمارينات المناقسات باستخدام الأثقال على بعض المتغيرات الكينماتيكية لأداء بعض المهارات فى الجمباز"، رسالة دكتوراه، كلية التربية الرياضية، جامعة المنيا.

ثانياً : المراجع الأجنبية :

- 6- Hanavan, E.P. : (1964), A mathematical model of the human body, Wright - Patterson Air Force Base, Ohio.

- 7- International Gymnastics Federation : (1975), Weisungen zur ausbildung von internationlen kampfrich ternnen kunstturnen.
- 8- Kerwin, D.G. : (1993), Hand placement techniques in long horse vaulting. Journal of Sport Sciences, VII, n4.
- 9- Taki, Y. : (1990), Techniques used in performing the hand spring and forward sommersault tucked vault at the 1988 Olympic games. International Journal of Sport Biomechanics, Chamaign, In, 6, 2 May.
- 10- Taki, Y. : (1991), Comparison of techniques used in performing the men's compulsory gymnastics vault at the 1988 Olympic games, international Journal of Sport Biomehcanics, Champaign, I 11, 7, 1, Feb.
- 11- Ukran, M.L. : (1967), Geratturnen, sportverlage, Berlin.